

## Лекция 8

### Хаотическая динамика одномерных отображений

#### Просты ли одномерные динамические системы?

В теории динамических систем наряду с такими привычными понятиями, как периодичность, устойчивость и другие, в последнее время появился и стал весьма популярным термин *странный аттрактор*. Использование таких понятий, когда  $X$  – пространство большой размерности или хотя бы имеет размерность больше единицы, представляется естественным и необходимым. Это – результат длительного и плодотворного развития общей теории динамических систем, в частности, как основы качественной теории дифференциальных уравнений. Однако необходимо ли это, когда  $X$  – одномерное пространство? Может быть, и нет необходимости привлекать "такую артиллерию"? На первый взгляд, ситуация одномерного пространства кажется довольно простой.

#### $\omega$ -предельные множества

В теории динамических систем асимптотическое поведение траекторий характеризуется обычно с помощью  $\omega$ -предельных множеств.

**Определение:** Точка  $x' \in X$  называется  $\omega$ -предельной точкой траектории  $\{f^n(x)\}_{n=0}^{\infty}$ , если для любой окрестности  $U$  точки  $x'$  и любого  $n' > 0$  найдется  $n'' > n'$ , для которого  $f^{n''}(x) \in U$ . Иначе говоря, существует бесконечная последовательность  $n_1 < n_2 < \dots \rightarrow +\infty$  такая, что  $f^{n_i}(x) \rightarrow x'$ .

Множество всех  $\omega$ -предельных точек траектории, проходящей через точку  $x$ , обозначают через  $\omega(x)$ . Это замкнутое множество, и если  $X$  – компакт, то оно инвариантно и непусто. Если  $X$  не является компактом, то возможна ситуация, что для некоторой точки  $x \in X$  предельное множество  $\omega(x) = \emptyset$ , то есть с течением времени траектория стремится покинуть  $X$ . Таким образом, если  $X$  – компакт, то  $\omega(x)$  – наименьшее замкнутое множество, любая окрестность которого содержит все точки траектории  $\{f^n(x)\}$ , начиная с некоторого номера  $N$ , зависящего от выбранной окрестности.

Наиболее просто ведут себя *периодические траектории* или *циклы*. Периодические траектории играют важную роль в теории динамических систем, это относится и к одномерным динамическим системам.

**Определение:** Точка  $x_0 \in X$  называется *периодической точкой периода  $m$* , если  $f^m(x_0) = x_0$  и  $f^i(x_0) \neq x_0$  при  $0 < i < m$ .

Каждая из точек  $x_i = f^i(x_0)$  ( $i = 1, 2, \dots, m - 1$ ) также является периодической периода  $m$ , и точки  $\{x_0, x_1, \dots, x_{m-1}\}$  образуют периодическую траекторию, или цикл, периода  $m$ . В случае  $m = 1$  периодическая траектория является неподвижной точкой отображения  $f$ , это цикл периода 1. Очевидно, что  $\omega$ -предельное множество любой неподвижной точки  $x_s$  состоит из единственной точки:  $\omega(x_s) = x_s$ .

Для периодических траекторий  $\omega$ -предельное множество совпадает с самой траекторией. Вообще если для какой-либо траектории ее  $\omega$ -предельное множество представляет собой цикл, то эта траектория является либо периодической, либо *асимптотически периодической*, то есть притягивается периодической траекторией.

Существование периодических и асимптотически периодических траекторий – ситуация, типичная для одномерных динамических систем. В самом деле, каковы бы ни были точки  $\beta_1, \dots, \beta_m$ , лежащие на интервале  $I$  и попарно различные, если положить  $f(\beta_i) = \beta_{i+1}$  для  $i = 1, 2, \dots, m - 1$  и  $f(\beta_m) = \beta_1$ , а затем продолжить  $f(x)$  на интервал  $I$  произвольным образом, лишь бы функция  $f(x)$  была непрерывной, то отображение  $x \rightarrow f(x)$  будет иметь периодическую траекторию периода  $m$ , это  $\{\beta_1, \beta_2, \dots, \beta_m\}$ . Если к тому же  $f(x)$  выбрать гладкой, то в окрестности каждой из точек  $\beta_i$  справедливо соотношение:

$$|f(x) - \beta_{i+1}| = |f(x) - f(\beta_i)| \approx |f'(\beta_i)| \cdot |x - \beta_i|,$$

и, следовательно,

$$|f^m(x) - \beta_i| \approx |f^m(\beta_i) - \beta_i + [f^m(\beta_i)]'(\beta_i - x)| = \left| \prod_{j=1}^m f'(\beta_j) \right| \cdot |x - \beta_i|.$$

Таким образом, если  $\left| \prod_{j=1}^m f'(\beta_j) \right| < 1$  и точка  $x_0$  достаточно близка к одной из точек цикла, то траектория  $\{f^n(x_0)\}$  приближается к циклу  $\omega(x_0) = \{\beta_1, \beta_2, \dots, \beta_m\}$ .

Может ли  $\omega$ -предельное множество состоять из конечного числа точек и не быть циклом? Например, состоять из двух циклов? Когда пространство  $X$  локально компактно, справедлив следующий общий факт.

**Теорема.** Если  $\omega$ -предельное множество состоит из конечного числа точек, то эти точки образуют цикл.

Это утверждение является следствием свойства *несжимаемости*, которой обладает динамическая система на каждом  $\omega$ -предельном множестве: если  $F$

–  $\omega$ -предельное множество, то для любого его собственного подмножества  $V \subset F$  ( $V \neq F$ ), открытого относительно  $F$ , образ  $f(\overline{V})$  не является собственным подмножеством  $V$  (черта сверху, как обычно, означает операцию замыкания множества).

Как из этого утверждения вытекает утверждение, приведенное выше? Если  $F$  состоит из конечного числа точек и  $G$  – цикл в  $F$ , не совпадающий с  $F$ , то  $G$  – инвариантное множество, одновременно и замкнутое, и (относительно  $F$ ) открытое, то есть  $f(\overline{G}) \subset F$ , что невозможно. Напомним, что гильбертово пространство локально компактно, если и только если оно конечномерно.

Если  $\omega$ -предельное множество имеет мощность континуума, то оно может содержать или не содержать циклы. Простой пример динамической системы, для которой  $\omega$ -предельные множества имеют мощность континуума, хорошо известен. Это – поворот окружности  $S^1$  на некоторый угол  $\mu$ . Пусть на  $S^1$  задана параметризация такая, что все точки  $S^1$  соответствуют  $\varphi \in [0, 1)$  и точки  $\varphi = 0$  и  $\varphi = 1$  отождествляются. Если  $\mu$  – иррациональное число, то поворот  $\varphi \rightarrow \varphi + \mu$  порождает траектории

$$\{\varphi + n\mu (\text{mod } 1)\}_{n=0}^{\infty},$$

которые при любом  $\varphi \in S^1$  являются почти периодическими и плотны на  $S^1$ , так что  $\omega(\varphi) = S^1$ . Существование таких траекторий (как и периодических при рациональном  $\mu$ ) связано с возможностью возвращения точек в начальное положение или близкое к нему, которую обеспечивает топология  $S^1$ .

*Задача 1.* Покажите, что если  $\mu$  – рациональное число, то отображение поворота окружности  $S^1$  на угол  $\mu$  порождает периодические траектории. Какие? Каков их период?

Вернемся к рассмотрению отображений на интервале  $I \subset R$ . Для такой динамической системы возможности возвращения, которую дает топология самого пространства, нет. Поэтому когда отображение  $f : I \rightarrow I$ , как и поворот  $S^1$ , обратимое (и мы имеем группу отображений, а не полугруппу), динамическая система на интервале  $I$  устроена совсем просто. Действительно, в этом случае  $f$  – монотонная функция, и либо сама  $f$ , либо вторая итерация  $f^2$  монотонно возрастает (таким образом, вторая ситуация связана с первой).

Если функция  $f$  – монотонно возрастающая, то есть при  $x' > x''$  выполняется неравенство  $f(x') > f(x'')$ , то все итерации отображения  $f$  обладают этим свойством:  $f^m(x') > f^m(x'')$  при любом  $m \geq 0$ . Каждая траектория  $\{x_0, x_1, \dots, x_m, \dots\}$ , где  $x_{m+1} = f(x_m)$ , монотонна, то есть если  $x_0 > x_1$ , то

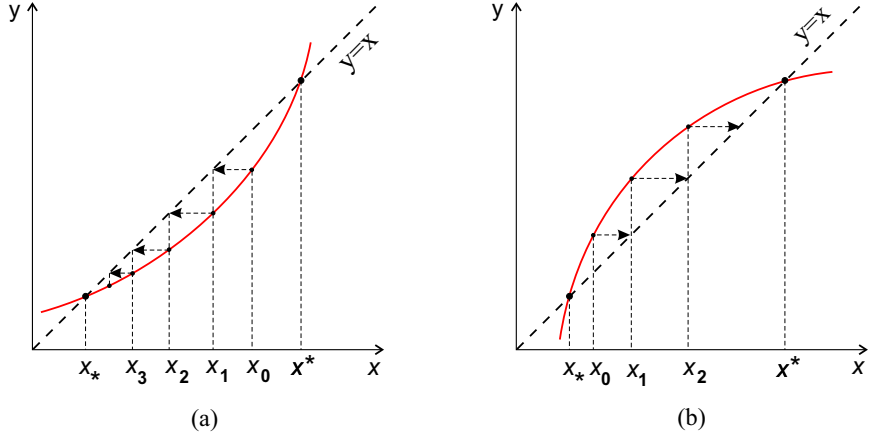


Рис. 1: Пример траекторий, асимптотически приближающихся к неподвижной точке  $x_*$  (a) или  $x^*$  (b)

$x_0 > x_1 > x_2 > \dots > x_m > \dots$ , а если  $x_0 < x_1$ , то  $x_0 < x_1 < x_2 < \dots < x_m < \dots$ . Более того, траектория сходится к одной из неподвижных точек отображения  $f$  или совпадает с ней. Таким образом, для того, чтобы описать поведение произвольной траектории, в этом случае достаточно знать множество неподвижных точек

$$\text{Fix}(f) = \{x \in I : f(x) = x\}$$

и, кроме того, знак разности  $\text{sign}[f(x) - x]$  на каждом интервале, дополнительном к  $\text{Fix}(f)$ . Если начальная точка  $x_0 \in (x_*, x^*)$ , причем  $x_*$  и  $x^*$  являются неподвижными точками ( $x_*, x^* \in \text{Fix}(f)$ ), и интервал не содержит других неподвижных точек, то есть  $(x_*, x^*) \subset I \setminus \text{Fix}(f)$ , то  $\omega$ -предельное множество траектории, проходящей через точку  $x_0$ , состоит из одной точки, это  $x_*$  или  $x^*$  (см. Рис. 1). Если  $\text{sign}(f(x_0) - x_0) = -1$ , то  $f^n(x_0) \rightarrow x_*$  при  $n \rightarrow \infty$ . Если  $\text{sign}(f(x_0) - x_0) = +1$ , то  $f^n(x_0) \rightarrow x^*$  при  $n \rightarrow \infty$ .

В том случае, когда  $f$  – монотонно убывающая функция, каждая траектория распадается на две монотонные последовательности  $x_0, x_2, x_4, \dots$  и  $x_1, x_3, x_5, \dots$ , одна из которых возрастает, другая убывает (см. Рис. 2). Для описания динамической системы достаточно знать  $\text{Fix}(f^2)$ .

## Гомоклинические траектории

Для того, чтобы динамическая система была устроена сложнее, необходимо, чтобы она не была группой отображений, то есть чтобы отображение  $f : I \rightarrow I$  было немонотонным. Вследствие немонотонности  $f$  можно осуществить возвращение некоторых точек  $x \in I$  в начальное положение и, следовательно, получить периодические точки, причем с любым периодом, а

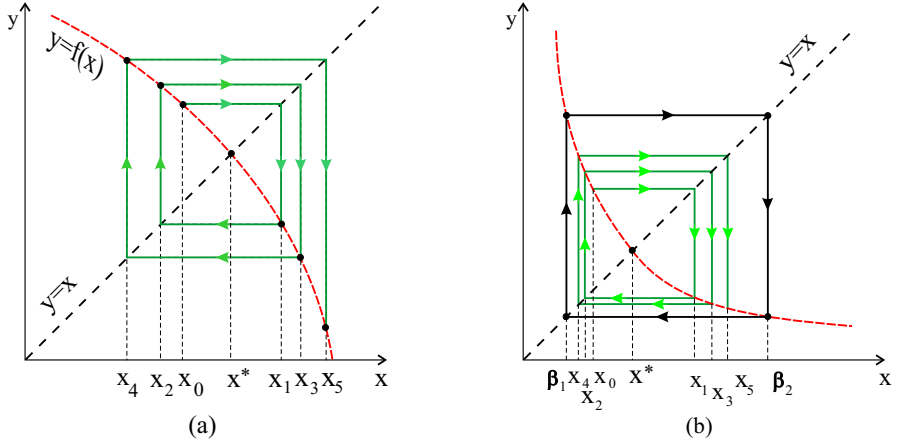


Рис. 2: Пример траекторий, удаляющейся от неподвижной точки  $x^*$  (a) и периодической для периода 2  $\{\beta_1, \beta_2\}$  (b)

не только с периодами 1 или 2, как в случае монотонного отображения  $f$ .

В теории динамических систем (в частности, в качественной теории дифференциальных уравнений) признаком сложности системы могут служить так называемые гомоклинические траектории, впервые обнаруженные Анри Пуанкаре в задачах небесной механики.

**Определение:** Гомоклиническая траектория – это траектория, которая при возрастании и при убывании времени стремится к одной и той же периодической траектории.

Существование гомоклинической траектории, как правило, влечет за собой существование в любой ее окрестности счетного числа периодических траекторий, причем сколь угодно большого периода, а также траекторий с "квазислучайным" поведением. Такая сложная динамика объясняется тем, что из окрестности каждой точки цикла, который "притягивает" гомоклиническую траекторию, можно уходить и возвращаться уже двумя путями: вдоль цикла и вдоль гомоклинической траектории.

Дифференциальные уравнения могут иметь гомоклинические траектории, начиная с систем размерности три, если не учитывать исключительный случай, возможный на плоскости, когда сепаратриса, выходящая из седловой неподвижной точки, и сепаратриса, входящая в то же седло, образуют одну траекторию. Могут ли существовать гомоклинические траектории у одномерных динамических систем? В случае, который нас интересует, данное выше определение гомоклинических траекторий не годится, так как использует поведение траектории при убывании времени, а мы имеем дело с полугруппой

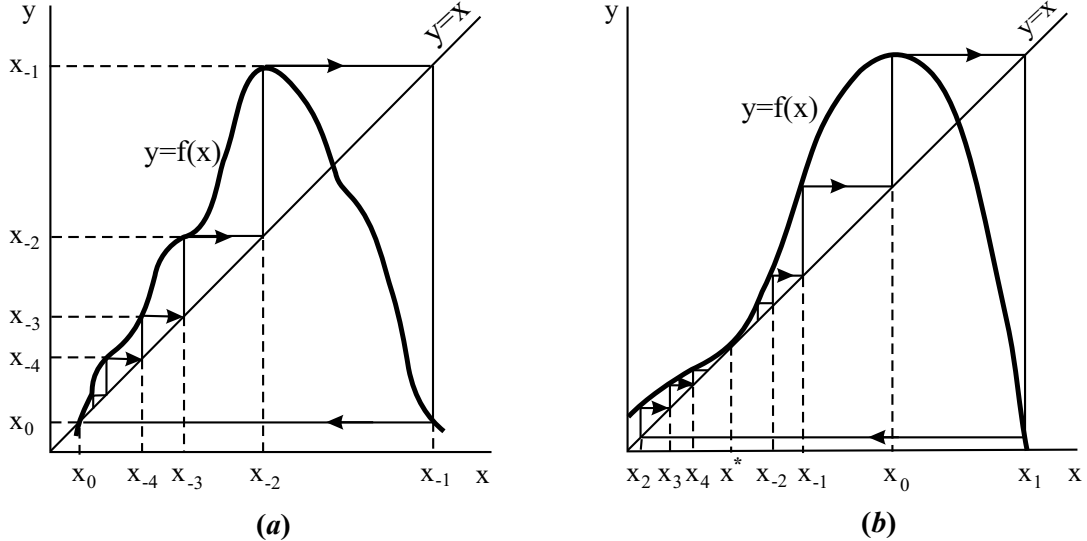


Рис. 3: Примеры гомоклинических траекторий, "приклеивающейся" к периодической точке  $x_0$  периода 1 (a) и асимптотически приближающейся к неподвижной точке  $x^*$  (b)

отображений, и время, вообще говоря, необратимо. Одна из возможностей сохранить это понятие для полугруппы отображений – рассматривать "дву-сторонние" траектории  $\{x_i\}_{i=-\infty}^{+\infty}$ , где  $x_{i+1} = f(x_i)$ , если это возможно и необходимо. "Отрицательных" полутраекторий  $\{x_i\}_{i=-1}^{-\infty}$  для точки  $x_0$ , конечно, может существовать много, если  $f^{-1}$  не является однозначной функцией. Но может случиться, что и нет ни одной, если, например,  $f(I) \neq I$ . К траектории  $\{x_i\}_{i=-\infty}^{+\infty}$  уже можно применять определение гомоклинической траектории, данное выше.

Легко видеть, что существование гомоклинических траекторий у динамических систем – ситуация, далеко не исключительная. Действительно, пусть  $x_{-1}, x_{-2}, \dots$  – произвольная последовательность точек из интервала  $I$ , сходящаяся к точке  $x_0$ . Пусть, для простоты,  $x_{-1} > x_{-2} > \dots$  (Рис. 3a). Положим  $f(x_0) = x_0$  и  $f(x_i) = x_{i+1}$  при  $i = -1, -2, \dots$ . Функция  $f(x)$  непрерывна на множестве  $\{x_i\}_{i=0}^{-\infty}$  и ее всегда можно продолжить на весь интервал  $I$  с сохранением непрерывности. Для так построенного отображения  $x \rightarrow f(x)$  траектория  $x_{-3}, x_{-2}, x_{-1}, x_0, x_0, x_0, \dots$  – гомоклиническая и сходится к неподвижной точке  $x_0$ . В данном случае гомоклиническая траектория "приклеилась" к периодической точке  $x_0$ , циклу периода 1. Именно такой случай типичен для одномерных отображений, хотя могут существовать и гомоклинические траектории, не "приклеивающиеся" к периодическим (Рис. 3b).

Поэтому вопрос, просты ли одномерные системы, скорее следовало бы формулировать так: насколько сложными могут быть одномерные динами-

ческие системы? Результаты, которые получены, начиная с 60-х годов XX в., показывают, что одномерные динамические системы в определенном смысле могут быть такими же сложными, как и динамические системы в произвольных локально компактных пространствах.

## Сложная динамика одномерных динамических систем

Вернемся к рассмотрению динамической системы, эволюция которой определяется логистическим отображением

$$x_{n+1} = f(x_n), \quad f(x) = \lambda x(1 - x). \quad (1)$$

- При любом  $\lambda < \lambda^*(\approx 3.57)$  динамическая система, задаваемая отображением (1), устроена на  $I = [0, 1]$  достаточно просто: каждая траектория является асимптотически периодической. Каково бы ни было  $\lambda$ , существует единственный притягивающий цикл периода  $2^m$  ( $m$  зависит от  $\lambda$ ), который притягивает все точки из  $I$  за исключением счетного числа точек, "приклеивающихся" к отталкивающим циклам периодов  $2^i$ ,  $i = 0, 1, \dots, m-1$ .

Что будет при  $\lambda \geq \lambda^*$ ? Динамическая система устроена в этом случае более сложно. В частности, при любом  $\lambda \geq \lambda^*$  существуют траектории, не притягивающиеся к циклам, и, следовательно, для таких траекторий  $\omega$ -предельное множество бесконечно.

Не останавливаясь на анализе всех возможных ситуаций, рассмотрим динамическую систему при нескольких значениях параметра:

$$\lambda = \lambda^*(\approx 3.57), \quad 3.83, \quad 4, \quad \lambda > 4.$$

- При  $\lambda = \lambda^*$  отображение (1) уже имеет циклы периодов  $2^i$ ,  $i = 0, 1, \dots$ , и все они отталкивающие, неустойчивые. Циклов других периодов не существует. Рассмотрим множество всех периодических точек

$$\text{Per}(f) = \{x \in I : \exists m \geq 1, \quad f^m(x) = x\}.$$

Тогда  $K = [\text{Per}(f)]'$  – множество предельных точек для множества периодических точек – совершенное нигде не плотное множество, то есть гомеоморфно множеству Кантора. Множество  $K$  не содержит периодических точек:

$$K \bigcap \text{Per}(f) = \emptyset$$

Напомним, что *совершенным* называется множество  $M$ , если оно замкнуто и каждая его точка является предельной (то есть там нет изолированных точек).

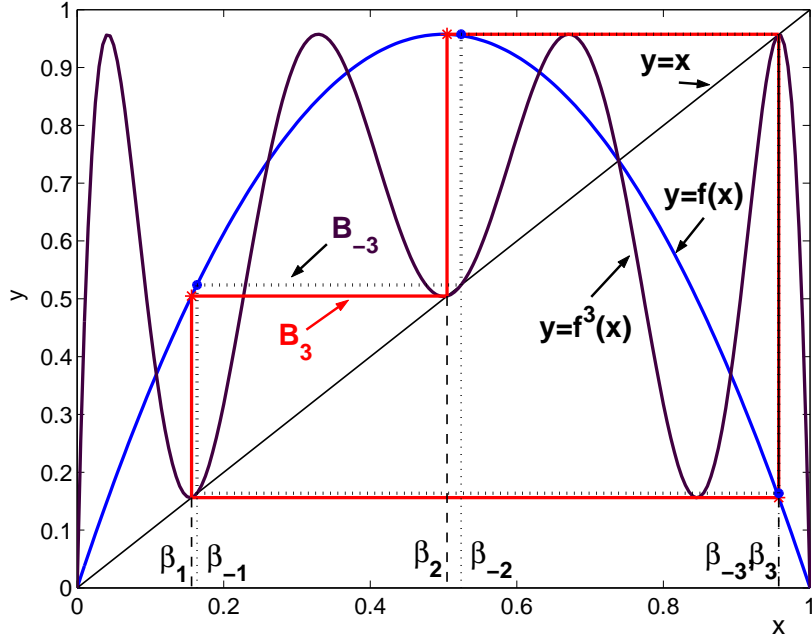


Рис. 4: Циклы периода 3 отображения (1) при  $\lambda = 3.83$ : устойчивый  $B_3 = \{\beta_1, \beta_2, \beta_3\}$  и неустойчивый  $B_{-3} = \{\beta_{-1}, \beta_{-2}, \beta_{-3}\}$ ,  $B_3 = \{0.15616, 0.50470, 0.95742\}$ ,  $B_{-3} = \{0.16356977, 0.52400029, 0.95741657\}$

- $\lambda = 3.83$ . Если продолжать увеличивать параметр  $\lambda$ , будут появляться новые циклы, в том числе периодов, отличных от  $2^i, i = 0, 1, \dots$ . При  $\lambda = 3.83$  отображение уже имеет циклы с любым периодом  $m \in N$ . Например, притягивающим является цикл  $B_3$  периода 3, образованный точками  $\{\beta_1, \beta_2, \beta_3\}$  (Рис. 4) Кроме притягивающего, есть отталкивающий цикл периода 3 - это точки  $\{\beta_{-1}, \beta_{-2}, \beta_{-3}\}$ .

Точки обоих циклов вычисляются как нули полинома 6 степени

$$\frac{f^3(x) - x}{f(x) - x}.$$

Какие точки притягивает цикл  $B_3$ ? Рассмотрим прообразы точки  $\beta_{-3}$  – это точки  $\beta_{-2}$  и  $1 - \beta_{-2}$ . Обозначим интервал  $(1 - \beta_{-2}, \beta_{-2})$  как  $I_0$ . Тогда

- $f^3(I_0) \subset I_0$  (например,  $f^3(1/2) \in I_0$ ),
- на интервале  $I_0$  имеется только одна и притом притягивающая неподвижная точка  $\beta_2$  отображения  $f^3$ ,
- циклов периода 2 отображение  $f^3$  не имеет.

Следовательно, для любого  $x_0 \in I_0$  при  $n \rightarrow \infty$  выполнено  $f^{3n}(x_0) \rightarrow \beta_2$ , то есть точка  $x_0$  притягивается циклом  $B_3$ , интервал  $I_0$  входит в область притяжения цикла  $B_3$ .

Так как всякая траектория, притягиваемая циклом  $B_3$ , должна проходить

и через  $I_0$  (это окрестность точки  $\beta_2$ ), то множество

$$P = \bigcup_{i=0}^{+\infty} f^{-i}(I_0)$$

состоит из тех и только тех точек  $I$ , которые притягиваются циклом  $B_3$ . Множество  $P$  – открытое, плотное на  $I$ , причем  $\text{mes } P = \text{mes } I = 1$  (это показано в статьях А.Н. Шарковского и Дж. Гуценхаймера). Значит, цикл  $B_3$  притягивает почти все точки из  $I$ .

Множество  $I \setminus P$  состоит из точек, которые не притягиваются циклом  $B_3$ , и представляет собой совершенное, нигде не плотное множество, то есть гомеоморфное множеству Кантора.

Более детальный анализ можно найти в книге А.Н. Шарковского.

- $\lambda = 4$ . В этом случае  $\max_{x \in I} f(x) = f(1/2) = 1$ , так что  $f(I) = I$  (Рис. 5). Чтобы получить представление о свойствах динамической системы, задаваемой отображением

$$x \mapsto 4x(1-x), \quad (2)$$

воспользуемся тем, что отображение (2) топологически эквивалентно кусочно-линейному отображению

$$x \rightarrow g(x) = \begin{cases} 2x, & 0 \leq x \leq 1/2, \\ 2(1-x), & 1/2 \leq x \leq 1. \end{cases} \quad (3)$$

**Определение.** Два отображения

$$f_1 : X_1 \rightarrow X_1, \quad f_2 : X_2 \rightarrow X_2$$

топологически эквивалентны, если существует гомеоморфизм  $h : X_1 \rightarrow X_2$  такой, что диаграмма

$$\begin{array}{ccc} & f_1 & \\ X_1 & \rightarrow & X_1 \\ h \downarrow & & h \downarrow \\ X_2 & \rightarrow & X_2 \\ & f_2 & \end{array}$$

коммутативна, т.е.  $h \circ f_1 = f_2 \circ h$ .

Для отображения (2) и (3)  $X_1 = X_2 = I$ , и сопрягающий гомеоморфизм  $h : I \rightarrow I$  задается функцией

$$h(x) = 2/\pi \arcsin \sqrt{x}.$$

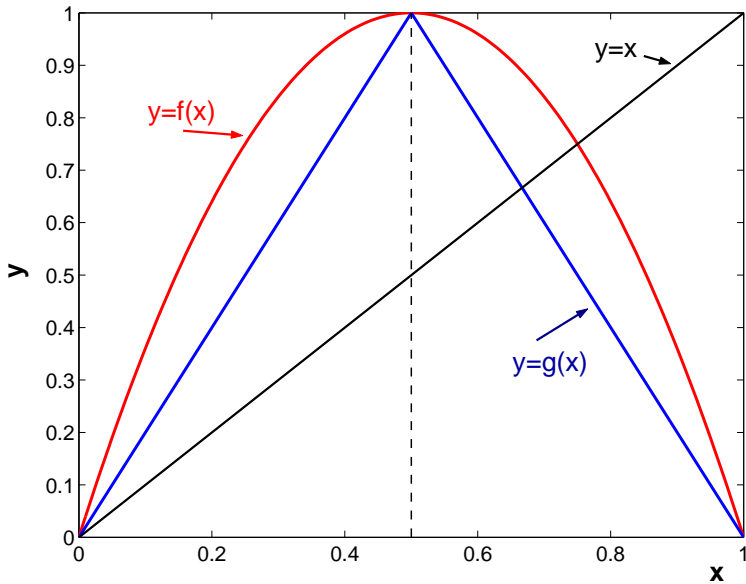


Рис. 5: Топологически эквивалентные отображения (2) и (3)

Действительно, в таком случае

$$h^{-1}(x) = \sin^2 \pi x / 2,$$

и необходимо проверить, что  $f = h^{-1} \circ g \circ h$ . Поскольку

$$0 \leq h^{-1}(x) \leq 1/2 \quad \text{для } 0 \leq x \leq 1/2,$$

$$1/2 \leq h^{-1}(x) \leq 1 \quad \text{для } 1/2 \leq x \leq 1,$$

то при  $0 \leq x \leq 1/2$

$$\begin{aligned} h^{-1} \circ g \circ h(x) &= \sin^2\left(\frac{\pi}{2} \cdot 2 \cdot \frac{2}{\pi} \arcsin \sqrt{x}\right) = \\ &= \sin^2(2 \arcsin \sqrt{x}) = (2\sqrt{x}\sqrt{1-x})^2 = f(x) \end{aligned}$$

при  $1/2 \leq x \leq 1$

$$h^{-1} \circ g \circ h(x) = \sin^2\left[2\left(\frac{\pi}{2} - \arcsin \sqrt{x}\right)\right] = \sin^2(2 \arcsin \sqrt{x}) = f(x).$$

Если два отображения топологически эквивалентны (или сопряжены), то сопряжены (или эквивалентны) и дискретные динамические системы, порожденные этими отображениями. В самом деле, если  $h \circ f = g \circ h$ , то при любом  $n > 0$   $h \circ f^n = g^n \circ h$ . Каждой траектории одной динамической системы соответствует траектория другой динамической системы. Это соответствие

задает функция  $h$ : траектории отображения  $f$ , проходящей через точку  $x_0$ , отвечает траектория отображения  $g$ , проходящая через точку  $h(x_0)$ .

Асимптотические свойства соответствующих друг другу траекторий одинаковы:  $w$ -предельные множества траекторий  $\{f^n(x_0)\}$  и  $\{g^n(x_0)\}$  гомеоморфны между собой. Если одна из этих траекторий притягивается циклом, то и другая притягивается циклом и т.д.

Таким образом, чтобы изучить свойства отображения (2), достаточно рассмотреть кусочно-линейное отображение (3), что сделать проще. При этом можно использовать методы так называемой символической динамики. В двоичной записи каждая точка  $x \in I$  имеет вид

$$x = 0. \ a_1 a_2 \dots a_i \dots,$$

где  $a_i = 0$  или  $a_i = 1$ . Согласно (3),

$$g(x) = \begin{cases} 0. \ a_2 a_3 \dots a_i \dots, & a_1 = 0, \\ 0. \bar{a}_2 \bar{a}_3 \dots \bar{a}_i \dots, & a_1 = 1, \end{cases}$$

где  $\bar{a}_i = 1 - a_i$ , то есть отображение  $g$  от последовательности нулей и единиц  $a_1 a_2 a_3 \dots$  отбрасывает первую цифру, а остальные оставляет без изменений (когда  $a_1 = 0$ ) или заменяет на противоположные (когда  $a_1 = 1$ ). Это позволяет легко разобраться, например, с периодическими траекториями: такие траектории должны проходить через точки, которые в двоичной записи имеют периодические последовательности из нулей и единиц.

Для исследования отображения (3) используем другой метод, основанный на том, что отображение (3) является растягивающим (раздвигает близкие точки). Этот метод при надлежащем его развитии может быть применен к произвольным непрерывным отображениям. Следствием того, что отображение (3) является растягивающим, является следующий полезный факт.

**Лемма 1.** Для любого открытого в  $I$  интервала  $J \subset I$  существует  $m > 0$  такое, что  $g^m J = I$ .

Доказательство почти очевидно:

- 1) Если  $J \cap 1/2 = \emptyset$ , то  $\text{diam}(gJ) = 2 \text{ diam}(J)$ .
- 2) Рассмотрим интервал  $[0, \varepsilon]$  при некотором  $\varepsilon$ , тогда для  $m \geq 1$  образ этого интервала  $g^m[0, \varepsilon] = [0, \varepsilon \cdot 2^m]$  при  $\varepsilon \cdot 2^m < 1$  и  $g^m[0, \varepsilon] = I$  при  $\varepsilon \cdot 2^m \geq 1$ . Значит, утверждение Леммы справедливо.
- 3) Если  $1/2 \in J$ , то существует  $\delta > 0$  такое, что  $[\delta, 1] \subset g(J)$ . Тогда из п.2 следует утверждение Леммы, так как  $[0, 2\delta] \subset g^2(J)$ .
- 4) Пусть теперь  $J \subset I$  - произвольный интервал, такой что  $J \cap \{1/2\} = \emptyset$ .

Если  $\max\{x \in J\} < 1/2$ , то длина интервала будет удваиваться на каждой итерации и  $\text{diam}(g^{r+1}(J)) = 2 \text{ diam}(g^r(J))$ , пока  $g^r(J) \cap 1/2 = \emptyset$ . Пусть  $r_0$  – наименьшее  $r$  такое, что  $1/2 \in g^{r_0}(J)$ . Тогда из п.3 следует, что лемма справедлива.

Если же  $J \cap 1/2 = \emptyset$  и  $\min\{x \in J\} > 1/2$ , то ...

*Задача 2.* Рассмотреть в Лемме 1 случай, когда  $J \subset I$  – произвольный интервал, для которого  $J \cap \{1/2\} = \emptyset$ .

Отметим, что аналогичное утверждение справедливо и для отображения (2), а это совсем не кажется очевидным, так как это отображение в окрестности точки  $x = 1/2$  сильно сжимает интервалы,  $f'(1/2) = 0$ . Более того, эта лемма позволяет доказать ряд важных свойств динамической системы (3).

**Утверждение 1.** На  $I$  всюду плотны периодические точки. Любой открытый интервал содержит периодические точки сколь угодно больших периодов.

Доказательство. Пусть  $J$  – произвольный открытый интервал и  $m$  таково, что  $g^m J = I$ . Найдутся точки  $x'$  и  $x'' \in J$ , для которых  $g^m(x') = 0$  и  $g^m(x'') = 1$ . Отображение  $g$  непрерывно (следовательно, и  $g^m$  – непрерывное отображение для любого  $m > 0$ ), поэтому найдется точка  $x_0$ , лежащая между точками  $x'$  и  $x''$ , для которой  $g^m(x_0) = x_0$ . Точка  $x_0$  периодическая, и её период является делителем  $m$ .

Чтобы доказать, что на  $J$  есть периодические точки, период которых больше, например,  $m_0$ , рассмотрим на  $J$  отображение  $g^{m_0!}$ . Это кусочно-линейное отображение, монотонно изменяющееся от 0 до 1 и от 1 до 0. Существует открытый интервал  $\tilde{J} \subset J$ , на котором  $g^{m_0!}(x) \neq x$ , и поэтому не содержащий периодических точек, период которых равен  $1, 2, 3, \dots, m_0$ . В это же время на  $\tilde{J}$ , согласно доказанному, есть периодические точки, и, следовательно, их периоды больше  $m_0$ . Утверждение 1 доказано.

**Утверждение 2.** Существует траектория, всюду плотная на  $I$ .

Доказательство. Чтобы доказать утверждение 2, возьмем какой-либо счетный базис на  $I$ , например, образованный открытыми интервалами  $J_1, J_2, \dots, J_s, \dots$  из  $I$ . То, что  $\{J_s\}$  образуют базис, означает, что для любой точки  $x \in I$  найдется последовательность интервалов  $\{J_{s_i}\}$  такая, что

$$J_{s_1} \supset J_{s_2} \supset \dots \supset J_{s_i} \supset \dots, \quad \bigcap_{i=1}^{\infty} J_{s_i} = \{x\}.$$

Например, в качестве базиса можно взять интервалы, концы которых двоично рациональные числа из  $I$ . Траектория, точки которой попадают в каждый из интервалов  $J_s$  ( $s = 1, 2, \dots$ ), очевидно, всюду плотна на  $I$ .

Покажем, что найдется точка  $x_0 \in J_1$  такая, что

$$\{g^i(x_0)\}_{i=0}^{\infty} \cap J_s \neq \emptyset, \quad s = 1, 2, \dots$$

Согласно Лемме 1, для каждого  $s = 1, 2, \dots$  найдется положительное число  $m_s$  такое, что  $g^{m_s}(J_s) = I$ . Так как  $g^{m_1}(J_1) = I \supset J_2$ , то существует открытый в  $I$  интервал  $J^{(1)} \subset J_1$  такой, что  $g^{m_1}(J^{(1)}) = J_2$ . Далее, поскольку  $g^{m_2}(J_2) = I \supset J_3$  и  $g^{m_1}(J^{(1)}) = J_2$ , то существует открытый интервал  $J^{(2)} \subset J^{(1)}$  такой, что  $g^{m_1+m_2}(J^{(2)}) = J_3$ . Так как  $g^{m_3}(J_3) = I \supset J_4$ , существует открытый интервал  $J^{(3)} \subset J^{(2)}$  такой, что  $g^{m_1+m_2+m_3}(J^{(3)}) = J_4$  и т.д. Получаем последовательность вложенных друг в друга интервалов

$$J_1 \supset J^{(1)} \supset J^{(2)} \supset J^{(3)} \supset \dots \supset J^{(s)} \supset \dots$$

для которых

$$g^{\sum_{i=1}^s m_i} J^{(s)} = J_{s+1}.$$

Через каждую точку множества  $\bigcap_{s=1}^{\infty} \overline{J^{(s)}}$ , очевидно, проходит траектория, плотная на  $J$ . Утверждение 2 доказано.

- $\lambda > 4$ . Поскольку  $f(1/2) = \lambda/4 > 1$ , то, следовательно,  $f(I) \not\subseteq I$ . В частности,  $f(1/2) > 1$  и  $f^n(1/2) \rightarrow +\infty$  при  $n \rightarrow \infty$ . Так же ведут себя другие траектории, начинающиеся в точках интервала

$$J = \{x \in I : f(x) > 1\}.$$

Концы интервала  $J$  удовлетворяют условию  $f(x) = 1$ , это точки

$$x_{1,2} = 1/2 \pm \sqrt{1/4 - 1/\lambda}.$$

Приведем без доказательства утверждение, определяющее важное свойство множества  $P$  точек  $x \in I$ , для которых траектории  $\{f^n(x)\} \subset I$ . Напомним, что квадратичное отображение  $f(x)$  (1) и кусочно-линейное отображение  $g(x)$ :

$$x \rightarrow g(x) = \begin{cases} \lambda x/2, & 0 \leq x \leq 1/2, \\ \lambda(1-x)/2, & 1/2 \leq x \leq 1. \end{cases}$$

топологически эквивалентны для каждого значения параметра  $\lambda$ .

**Утверждение 3.**  $K = \{x \in [0, 1] : g^n(x) \in [0, 1], n \geq 0\}$  – стандартное множество Кантора.

Следовательно,  $P$  – совершенное, нигде не плотное множество, гомеоморфное множеству Кантора, причем  $\text{mes } P = 0$ .